

национальным хозяйством (юго-восточный берег Крыма); III — районами среднего уровня развития (Севастопольский); IV — слабо-развитые районы, в том числе формирующиеся (северо-западное восточное побережье Крыма, предгорный и горный Крым); V — районами отсутствия рекреации, в том числе перспективные для рекреационного освоения (равнинный Крым).

Для повышения эффективности изложенной методики необходимо комплексный исторический анализ изменения уровня развития рекреации в районе с выявлением прогрессивных и ретрессивных тенденций. Это позволит в свою очередь сделать более объективными практические выводы по оптимизации территориальной организации отдыха и туризма.

1. Бажичев А. З., Головина Г. И., Лебедев П. П. Опыт оценки и картирования производственной сложности. — В кн.: Научно-техническая Республика и методы географического анализа. М., 1977, с. 60—65.
2. Веденчук Ю. А. Динамика территориальных рекреационных систем. — М.: Наука, 1982. — 190 с.
3. Гаэлант М. Оценка территории на примере рекреационной стройки в Бешикском районе. — В кн.: Рациональное использование природных ресурсов и охрана окружающей среды. М., 1977, с. 270—279.
4. Ильин Н. В. Информативные меры разнообразия, взаимосвязь, изменчивость. Изображенных на картах. — В кн.: Математические методы в географии. М., 1968, с. 5—18.
5. Клоппер Р. Über einige karten zum Erholungswesen der Bundesrepublik Deutschland. — Raumforschung und Raumordnung, 1977, v. 35, № 5, p. 238—245.
6. Grand Atlas de France. Paris, 1969. — 306 р.

Статья поступила в редакцию 15.04.85

УДК 588.74

Л. И. ИВАНОВА, В. В. СОСНОВЫЙ

ПРИМЕНЕНИЕ ФОТОГРАММЕТИЧЕСКОГО МЕТОДА ДЛЯ СЪЕМКИ КРИВОЛИНЕЙНЫХ ПОВЕРХНОСТЕЙ ИНЖЕНЕРНЫХ СООРУЖЕНИЙ

При строительстве сложных инженерных сооружений для покрытий больших пролетов применяются различных типов оболочки с криволинейной поверхностью. Обычно такие конструкции располагаются на значительной высоте, иногда непосредственно под ними устанавливается действующее оборудование, например мостовые краны. Исполнительная съемка ответственных сооружений выполняется периодически на различных этапах строительства. Геодезические [2] и фотограмметрические [4] методы исполнения выполнены на основе криволинейных поверхностей, основанные на изображениях, изображенных на картах. В кн.: Математические методы в геодезии. М., 1968, с. 5—18. 5. Клоппер Р. Über einige karten zum Erholungswesen der Bundesrepublik Deutschland. — Raumforschung und Raumordnung, 1977, v. 35, № 5, p. 238—245. 6. Grand Atlas de France. Paris, 1969. — 306 р.

При строительстве сложных инженерных сооружений для покрытий больших пролетов применяются различных типов оболочек с криволинейной поверхностью. Обычно такие конструкции

располагаются на значительной высоте, иногда непосредственно под ними устанавливается действующее оборудование, например мостовые краны. Исполнительная съемка ответственных сооружений выполняется периодически на различных этапах строительства. Геодезические [2] и фотограмметрические [4] методы исполнения выполнены на основе криволинейных поверхностей, основанные на изображениях, изображенных на картах. В кн.: Математические методы в геодезии. М., 1968, с. 5—18. 5. Клоппер Р. Über einige karten zum Erholungswesen der Bundesrepublik Deutschland. — Raumforschung und Raumordnung, 1977, v. 35, № 5, p. 238—245. 6. Grand Atlas de France. Paris, 1969. — 306 р.

При строительстве сложных инженерных сооружений для покрытий больших пролетов применяются различных типов оболочек с криволинейной поверхностью. Обычно такие конструкции расположены на значительной высоте, иногда непосредственно под ними устанавливается действующее оборудование, например мостовые краны. Исполнительная съемка ответственных сооружений выполняется периодически на различных этапах строительства. Геодезические [2] и фотограмметрические [4] методы исполнения выполнены на основе криволинейных поверхностей, основанные на изображениях, изображенных на картах. В кн.: Математические методы в геодезии. М., 1968, с. 5—18. 5. Клоппер Р. Über einige karten zum Erholungswesen der Bundesrepublik Deutschland. — Raumforschung und Raumordnung, 1977, v. 35, № 5, p. 238—245. 6. Grand Atlas de France. Paris, 1969. — 306 р.

ке без дополнительной маркировки. Перечисленные параметры однозначно определяются значениями отклонений этих ребер от их теоретического расположения по высоте Δh и отклонениями от вертикальной плоскости δ в нескольких точках.

Одно из условий возникновения стереоэффекта при наблюдениях пары снимков — пересечение соответствующих лучей под углом, не превышающим 16° . При съемке криволинейных поверхностей, и в частности внутренней поверхности куполов, это условие

$$z_N^\circ = \frac{\operatorname{tg} \beta_{AN}^\circ \cdot \cos \omega - \cos(\alpha_{AN} - \alpha_A^\circ) \cdot \sin \omega \cdot f}{\operatorname{tg} \beta_{AN}^\circ \cdot \sin \omega + \cos(\alpha_{AN} - \alpha_A^\circ) \cdot \cos \omega}; \quad (3)$$

$$\operatorname{tg} \beta_{AN}^\circ = \frac{H_N - H_A}{S_{AN}}. \quad (4)$$

После измерения каждого ребра по двум снимкам вычисляют отметки точек H_{N_x} по формулам (5) — (8), при этом участки ребер $N_A - N_B$ (см. рис. 1) заменяют прямыми линиями:

$$H_{N_x} = \frac{H_1 + H_2 \cdot K}{1 + K}, \quad (5)$$

$$H_J = H_{A_J} + S_{A_J N} \operatorname{tg} \beta_{A_J N}, \quad (6)$$

$$K = \frac{\sin(\alpha_{A_N} - \alpha_{OK}) \cdot \operatorname{tg} \beta_{A_N N}}{\sin(\alpha_{OK} - \alpha_{A_N}) \cdot \operatorname{tg} \beta_{A_N N}}. \quad (7)$$

Здесь значения S_{AN} , α_{AN} определяют путем решения обратной геодезической задачи между точками N и центрами проекций фототеодолита $A_1; A_2$, а значения $\operatorname{tg} \beta_{AN}$ вычисляют по формуле

$$\operatorname{tg} \beta_{AN} = \left(\frac{\sin \omega \cdot f + \cos \omega \cdot z_N}{\cos \omega \cdot f - \sin \omega \cdot z_N} \right) \cos(\alpha_{AN} - \alpha_A^\circ). \quad (8)$$

Значения Δh определяют по разностям проектных и фактических отметок по формуле

$$\Delta h = H_x - H_N. \quad (9)$$

Отклонения от вертикальной плоскости δ вычисляют по формуле

$$\delta = \frac{\delta_1 - \delta_2 \cdot K^*}{1 - K^*}, \quad (10)$$

$$\text{где } \delta_j = \left(\frac{H_{N_x} - H_{A_j}}{\operatorname{tg} \beta_{A_j N}} - S_{A_j N} \right) \cdot \sin(\alpha_{A_j N} - \alpha_{OK}). \quad (11)$$

$$K^* = \frac{\sin(\alpha_{A_N} - \alpha_{OK})}{\sin(\alpha_{OK} - \alpha_{A_N})}. \quad (12)$$

Сущность метода заключается в измерении на стереокомпаратore по одиночным снимкам аппликат z_N при наведении марки на ребро купола для расчетных значений абсцисс x_N , которые вычисляют по известным элементам ориентирования и проектным координатам точки N по формуле

$$x_N = (\cos \omega \cdot f - \sin \omega \cdot z_N^\circ) \cdot \operatorname{tg}(\alpha_{AN} - \alpha_A^\circ), \quad (1)$$

где

$$\alpha_{AN} = \operatorname{arctg} \frac{Y_N - Y_A}{X_N - X_A}; \quad (2)$$

Для решения различных инженерных задач от величин δ можно перейти к координатам точек N_x по формулам:

$$X_{N_x} = X_N + \delta \cdot \sin \alpha_{OK}; \quad (13)$$

$$Y_{N_x} = Y_N - \delta \cdot \cos \alpha_{OK}. \quad (14)$$

Для наклонного снимка расчетные значения x_N зависят от измеренных величин z_N . Поэтому при измерениях на стереоком-

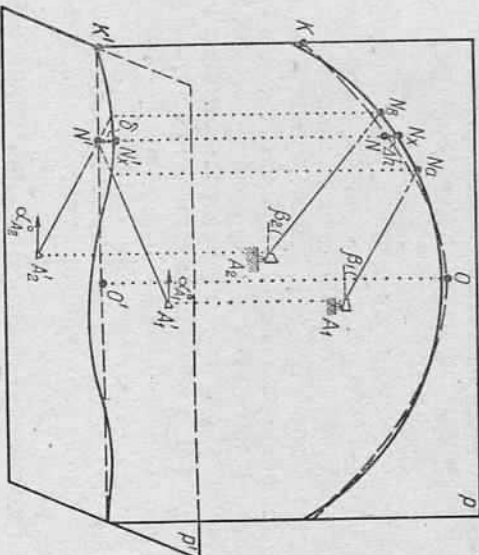


Рис. 1. Ребро купола OK и его проекция на горизонтальную плоскость P' .

обычно не выполняется. Поэтому измерения можно производить лишь по одиночным снимкам, на которых изображены однотипные ребра.

На рис. 1 представлены одно из ребер купола OK и его проекция на горизонтальную плоскость $P'-O'K'$. Пунктиром показано теоретическое положение этого ребра и его проекции. Проектные координаты $X_N; Y_N; H_N$ ряда точек каждого ребра рассчитываются по теоретическим параметрам оболочки. Положение стандартной фотографииания $A_1; A_2$ определяется в этой же системе координат.

Сущность метода заключается в измерении на стереокомпаратore по одиночным снимкам аппликат z_N при наведении марки на ребро купола для расчетных значений абсцисс x_N , которые вычисляют по известным элементам ориентирования и проектным координатам точки N по формуле

$$x_N = (\cos \omega \cdot f - \sin \omega \cdot z_N^\circ) \cdot \operatorname{tg}(\alpha_{AN} - \alpha_A^\circ),$$

где

$$\alpha_{AN} = \operatorname{arctg} \frac{Y_N - Y_A}{X_N - X_A};$$

парате необходимо использовать метод приближений, т. е. уточнять x_N по z_N по формуле (1). Для этой цели удобно использовать МК БЗ-34, позволяющий выполнить одно приближение за 8 с.

Среднее время на измерение и вычисление координат одной точки по программам, составленным по приведенным формулам, 4 мин.

Точность определения Δh зависит от погрешностей координат исходных пунктов m_{H_A} , m_p , расположенный до наблюдаемых точек

$N_A - N_B$ (см. рис. 1) прямой линией, можно осуществить следующим образом. Задаваясь допустимым значением стрелы сегмента δ_h , рассчитываем допустимую величину δ по формуле

$$\delta_{\text{доп}} \leq \sqrt{R^2 - (R - \delta_h)^2} \cdot \operatorname{tg}(\alpha_{AN} - \alpha_{OK}), \quad (17)$$

где R — радиус образующей купола. При $\delta > \delta_{\text{доп}}$ измерения данной точки повторяют, принимая теоретические координаты точки N равными вычисленным координатам точки N_x , уменьшая таким образом участок ребра $N_A - N_B$ (см. рис. 1).

Расчет средней квадратической погрешности определения δ выполняют по формуле

$$m_\delta = \sqrt{\frac{m_{\delta_1}^2 + m_{\delta_2}^2}{2}}, \quad (18)$$

где

$$m_{\delta_j} = \frac{\sin(\alpha_{AJN} - \alpha_{OK})}{\sqrt{2}} \sqrt{m_{\Delta h}^2 \operatorname{ctg}^2 \beta_{AJN} + m_p^2}. \quad (19)$$

Используя принцип равных влияний, рассчитаем оптимальные параметры фотосъемки для заданных средних квадратических погрешностей $m_{\Delta h}$ и m_p

$$\operatorname{tg}(\alpha_{AJN} - \alpha_{OK})_{\min} = \frac{\sqrt{2}(H_N - H_{A_j}) \cos^2(\alpha_{AJ}^\circ - \alpha_{AJN}^\circ)}{f \cdot m_{\Delta h}} m_x; \quad (20)$$

$$\sin(\alpha_{AJN} - \alpha_{OK})_{\max} = \frac{\sqrt{2} m_{\Delta h}^2 \cdot \operatorname{ctg}^2 \beta_{AJN} + m_p^2}{f \cdot m_{\Delta h}}; \quad (21)$$

$$S_{\max} = \frac{m_{\Delta h} \cdot f}{\sqrt{2} \cdot m_z \cdot T(C)}; \quad (22)$$

$$m_p = m_{H_A} = \frac{m_{\Delta h}}{t}. \quad (23)$$

где

$$m_{\Delta h} = \sqrt{m_{H_A}^2 + \frac{(H_N - H_{A_j})^2 \cdot \cos^4(\alpha_{AJ}^\circ - \alpha_{AJN}) \operatorname{ctg}^2(\alpha_{AJN} - \alpha_{OK}) \cdot m_x^2}{f^2} + \frac{S_{AJN}^2 \cdot T_j^2(C)}{f^2} \cdot m_z^2 + \operatorname{tg}^2 \beta_{AJN} \cdot m_p^2} \quad (16)$$

Здесь $t=2$ при вероятности $p=0,95$.
Пример. При $m_{\Delta h} = m_p = 2$ мм; $(H_N - H_{A_j}) = 4$ м; $\beta = 15^\circ$; $(\alpha_{AN} - \alpha_{AN}) = 30^\circ$; $f = 100$ мм; $m_x = m_z = 0,01$ мм; $T(C) = 1$ получим

$$m_p = m_{H_A} = 1,0 \text{ мм}; (\alpha_{AN} - \alpha_{OK})_{\min} = 15^\circ;$$

$$(\alpha_{AN} - \alpha_{OK})_{\max} = 27,4^\circ; S_{\max} = 14 \text{ м.}$$

Зоны оптимального расположения фотостанций при съемке внутренней поверхности купола определяются путем отложения предельных значений углов для крайних точек K и M каждого ребра купола на масштабированной схеме (рис. 3). Данный расчет позволяет выбрать минимальное количество фотостанций для максимального продвижения работ при заданной точности определения параметров купола.

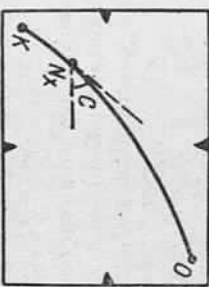


Рис. 2. Изображение ребра купола на фотографическом снимке.

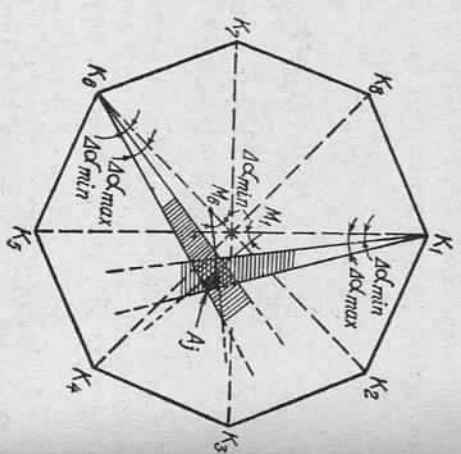


Рис. 3. Определение зоны оптимального расположения фотостанции A_j по предельным углам $\Delta\alpha$.

S_{AN} , превышенный наблюдаемых точек над исходными пунктами $(H_N - H_A)$, погрешностей измерений координат по фотоснимкам m_x , m_z и различных угловых элементов. Средние квадратические погрешности определения Δh рассчитывают по формуле

$$m_{\Delta h} = \sqrt{\frac{m_{\Delta h_1}^2 + m_{\Delta h_2}^2}{2}}, \quad (15)$$

где

$$m_{\Delta h_j} = \sqrt{m_{H_A}^2 + \frac{(H_N - H_{A_j})^2 \cdot \cos^4(\alpha_{AJ}^\circ - \alpha_{AJN}) \operatorname{ctg}^2(\alpha_{AJN} - \alpha_{OK}) \cdot m_x^2}{f^2} + \frac{S_{AJN}^2 \cdot T_j^2(C)}{f^2} \cdot m_z^2 + \operatorname{tg}^2 \beta_{AJN} \cdot m_p^2} \quad (16)$$

Здесь $t=2$ при вероятности $p=0,95$.
Пример. При $m_{\Delta h} = m_p = 2$ мм; $(H_N - H_{A_j}) = 4$ м; $\beta = 15^\circ$; $(\alpha_{AN} - \alpha_{AN}) = 30^\circ$; $f = 100$ мм; $m_x = m_z = 0,01$ мм; $T(C) = 1$ получим

$$m_p = m_{H_A} = 1,0 \text{ мм}; (\alpha_{AN} - \alpha_{OK})_{\min} = 15^\circ;$$

$$(\alpha_{AN} - \alpha_{OK})_{\max} = 27,4^\circ; S_{\max} = 14 \text{ м.}$$

Здесь $(\alpha_{AN} - \alpha_{OK})$ — угол, составленный направлением из исходного пункта на наблюдаемую точку и проекцией ребра купола на горизонтальную плоскость (см. рис. 1); C — угол наклона изображенной на снимке грани купола к оси XX (рис. 2). При $C \leq 45^\circ$ принимаем коэффициент $T(C)$ равным единице, а при $C > 45^\circ$ $T(C) = \operatorname{tg} C$.

Для экспериментальных исследований предложенного метода выполнена фотосъемка внутренней поверхности купола при на- клонном положении камеры УМК 10/1318 с нескольких пунктов, расположенных симметрично центру сооружения. При этом одиночные ребра купола изобразились на четырех снимках, что позволило дважды определить значения Δh и δ для каждой точки N. Оценка точности произведена по разностям двойных измерений для 36 точек одного ребра, расположенных на четырех участках

Теоретические и эмпирические средние квадратические поршности определения Δh и δ

Интервал	$m_{\Delta h}^*$, мм	$m_{\delta_{\text{из}}}$, мм	$m_{\delta_{\text{т}}}$, мм	$m_{\delta_{\text{в}}}$, мм	Количество точек	$S_{\Delta h}$ среднее, м
1	1,28	1,10	0,77	0,35	6	8,7
2	1,48	1,42	0,98	0,56	13	11,0
3	1,61	1,55	1,20	1,50	11	12,5
4	5,40	3,05	16,1	18,9	6	19,0

с различными характеристиками. В таблице сравниваются эмпирические значения средних квадратических погрешностей $m_{\Delta h}$ и m_{δ} с величинами, рассчитанными по формулам (15) и (18). Для участка № 4 угол $C = 70^\circ$.

Для повышения точности определения параметров купола необходимо вводить поправки в фокусное расстояние камеры за неизмерения [5], в угловые элементы внешнего ориентирования по фотографиям контрольных направлений [7], а также выполнять фотографирование на две и более фотопластинки [6]. Из анализа данных экспериментальных исследований следует: разработанный метод позволяет определять параметры кривоизогнутых поверхностей при использовании характерных линий сооружений, расположенных в вертикальных плоскостях с заданной точностью;

незначительный объем полевых работ при использовании данного метода, по сравнению с известными, обеспечивает непрерывность технологических процессов при строительстве и эксплуатации инженерных сооружений; использование ЭВМ для вычислений позволит оперативно получать информацию о состоянии сооружения.

1. Баран П. И., Никалаев Н., Давлатов Ш. Съемка недоступных вертикальных ярлыков. — Инж. геодезия, 1975, вып. 17, с. 98—106. 2. Войтенко С. П., Колесник И. Н. Методика геодезического обеспечения возведения сооружений из обоймочек. — Инж. геодезия, 1978, вып. 21, с. 100—104. 3. Войтенко С. П., Колесник И. Н. Геодезическая съемка элементов пространственных конструкций наклонного сечения. — Инж. геодезия, 1979, вып. 22, с. 75—78. 4. Крумлес В. А., Иванова Л. И., Дерех З. Д. Определение формы витовых покрытий инженерных сооружений фотографическим методом. — Геодезия и картография, 1979, № 2, с. 48—49. 5. Сердюков В. М. Фотограмметрия в инженерной

строительном деле. — М.: Недра, 1970. — 136 с. 6. Сердюков В. М. Фотограмметрия в промышленном и гражданском строительстве. — М.: Недра, 1977. — 245 с. 7. Смирнов Е. И. Зависимость между координатами точек снимка и корректировками углами, измеренными с концов базиса. — Геодезия, картография и аэрофотосъемка, 1983, вып. 38, с. 141—144.

Статья поступила в редакцию 30. 04. 85

УДК 528.711.1

Е. И. СМИРНОВ

О ТОЧНОСТИ ИЗМЕРЕНИЙ КОРРЕКТУРНЫХ НАПРАВЛЕНИЙ ПРИ ФОТОТЕОДОЛИТНОЙ СЪЕМКЕ

Одним из важнейших факторов, обуславливающих использование какой-либо методики, является требуемая точность определения исходных величин и разработка работоспособной технологии их получения. В связи с этим при разработке аналитического способа обработки фототеодолитных снимков с использованием корректурных направлений перед нами стала задача определения необходимой и достаточной точности угловых измерений, выполняемых в процессе подготовки геодезического обеспечения фототеодолитной съемки.

Задача сводится к определению зависимости допустимых ошибок измерений горизонтальных и вертикальных корректурных направлений от требуемой точности получения координат точек фототеодолитных снимков. Для этого использованы формулы*, объединяющие параметры:

$$x = f \frac{a_1 \sin \lambda + b_1 \cos \lambda + c_1 \operatorname{tg} \beta}{a_2 \sin \lambda + b_2 \cos \lambda + c_2 \operatorname{tg} \beta}, \\ z = f \frac{a_3 \sin \lambda + b_3 \cos \lambda + c_3 \operatorname{tg} \beta}{a_4 \sin \lambda + b_4 \cos \lambda + c_4 \operatorname{tg} \beta}, \quad (1)$$

где x, z — измеренные координаты точек фототеодолитных снимков; f — фокусное расстояние камеры; a_i, b_i, c_i — направляющие коинсы, являющиеся функциями от угловых элементов внешнего ориентирования; λ и β — соответственно горизонтальное и вертикальное корректурные направления, измеренные с концов базиса на замаркированные или легко определяемые на снимках точки. Корректурные направления должны быть предварительно исправлены за внецентренность передней угловой точки объектива*. Учитывая, что при наземной стереофотограмметрической съемке элементы ϕ и χ , как правило, близки к нулю, запишем направ-

* Смирнов Е. И. Зависимость между координатами точек снимка и корректировками углами, измеренными с концов базиса. — Геодезия, картография и аэрофотосъемка, 1983, вып. 38, с. 141—144.

Для экспериментальных исследований предложенного метода выполнена фотосъемка внутренней поверхности купола при нахождении положения камеры *УМК* 10/1318 с нескольких пунктов, расположенных симметрично центру сооружения. При этом одновременные ребра купола изобразились на четырех снимках, что позволило дважды определить значения Δh и δ для каждой точки *N*. Оценка точности произведена по разностям двойных измерений для 36 точек одного ребра, расположенных на четырех участках

Теоретические и эмпирические средние квадратические поршности определения Δh и δ

Интервал	$t_{\Delta h}^A$, мм	$t_{\Delta \delta}^A$, мм	t_{δ}^B , мм	t_{δ}^C , мм	Количество точек	$S_{\Delta h}$ среднее, м
1	1,28	1,10	0,77	0,35	6	87
2	1,48	1,42	0,98	0,56	13	11,0
3	1,61	1,55	1,20	1,50	11	12,5
4	5,40	3,05	16,1	18,9	6	19,0

с различными характеристиками. В таблице сравниваются эмпирические значения средних квадратических погрешностей $t_{\Delta h}^A$ и $t_{\Delta \delta}^A$ с величинами, рассчитанными по формулам (15) и (18). Для участка № 4 угол $C = 70^\circ$.

Для повышения точности определения параметров купола необходимо вводить поправки в фокусное расстояние камеры за неизвестным [5], в угловые элементы внешнего ориентирования по измерениям контрольных направлений [7], а также выполнять фотографирование на две и более фотопластинки [6].

Из анализа данных экспериментальных исследований следует: разработанный метод позволяет определять параметры криволинейных поверхностей при использовании характерных линий сооружений, расположенных в вертикальных плоскостях с заданной точностью;

незначительный объем полевых работ при использовании данного метода, по сравнению с известными, обеспечивает непрерывность технологических процессов при строительстве и эксплуатации инженерных сооружений; использование ЭВМ для вычислений позволяет оперативно получать информацию о состоянии сооружения.

- Баран *П. И.*, Никандров *Н. Давлатов Ш.* Съемка недоступных вертикальных кривых. — Инж. геодезия, 1975, вып. 17, с. 98—106. 2. Войтенко *С. П.*, Колесник *И. И.* Методика геодезического обеспечения возведения зданий из оболочек. — Инж. геодезия, 1978, вып. 21, с. 100—104. 3. Войтенко *С. П.*, Колесник *И. Н.* Геодезическая съемка элементов пространственных конструкций наклонного сечения. — Инж. геодезия, 1979, вып. 22, с. 75—78. 4. Крумелик *В. А.*, Иванова *Л. Д.* Определение форм вентильных покрытий инженерных сооружений фотограмметрическим методом. — Геодезия и картография, 1979, № 2, с. 48—49. 5. Сердобков *В. М.* Фотограмметрия в инженерной

строительном деле. — М.: Недра, 1970. — 136 с. 6. Сердобков *В. М.* Фотограмметрия в промышленном и гражданском строительстве. — М.: Недра, 1977. — 245 с. 7. Смирнов *Е. И.* Зависимость между координатами точек снимка и корректурными углами, измеренными с концов базиса. — Геодезия, картография и аэрофотосъемка, 1983, вып. 38, с. 141—144.

Статьи поступили в редакцию 30. 04. 85

УДК 528.711.1

Е. И. СМИРНОВ

О ТОЧНОСТИ ИЗМЕРЕНИЙ КОРРЕКТУРНЫХ НАПРАВЛЕНИЙ ПРИ ФОТОТЕОДОЛИТНОЙ СЪЕМКЕ

Одним из важнейших факторов, обуславливающих использование какой-либо методики, является требуемая точность определения исходных величин и разработка работоспособной технологии их получения. В связи с этим при разработке аналитического способа обработки фототеодолитных снимков с использованием корректурных направлений перед нами стала задача определения необходимой и достаточной точности угловых измерений, выполняемых в процессе подготовки геодезического обеспечения фототеодолитной съемки.

Задача сводится к определению зависимости допустимых ошибок измерений горизонтальных и вертикальных корректурных направлений от требуемой точности получения координат точек фототеодолитных снимков. Для этого использованы формулы*, объединяющие параметры:

$$x = f \frac{a_1 \sin \lambda + b_1 \cos \lambda + c_1 \operatorname{tg} \beta}{a_2 \sin \lambda + b_2 \cos \lambda + c_2 \operatorname{tg} \beta}, \\ z = f \frac{a_3 \sin \lambda + b_3 \cos \lambda + c_3 \operatorname{tg} \beta}{a_4 \sin \lambda + b_4 \cos \lambda + c_4 \operatorname{tg} \beta}, \quad (1)$$

где x, z — измеренные координаты точек фототеодолитных снимков; f — фокусное расстояние камеры; a_i, b_i, c_i — направляющие косинусы, являющиеся функциями от угловых элементов внешнего ориентирования; λ и β — соответственно горизонтальное и вертикальное направления, измеренные с концов базиса на замаркированные или легко определяемые на снимках точки. Корректурные направления должны быть предварительно исправлены за внедцентренность передней угловой точки объектива.* Учитывая, что при наземной стереофотограмметрической съемке элементы ω и χ , как правило, близки к нулю, запишем направ-

* Смирнов *Е. И.* Зависимость между координатами точек снимка и корректурными углами, измеренными с концов базиса. — Геодезия, картография и аэрофотосъемка, 1983, вып. 38, с. 141—144.